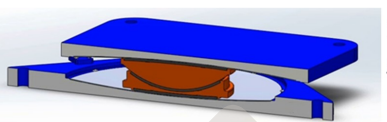


Progetto DPC-ReLUIS 2024-2026 WP 15 task 15.3



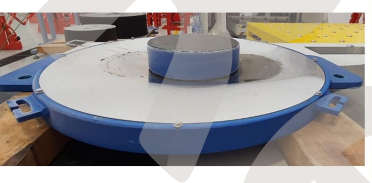
Effetto della contaminazione da ghiaccio sul coefficiente di attrito degli isolatori a scorrimento

Virginio Quaglini, Eleonora Bruschi

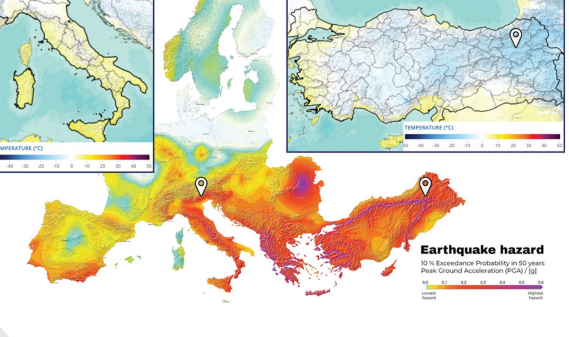


Manca una indagine sistematica sull'effetto della contaminazione da ghiaccio sul coefficiente di attrito degli isolatori a scorrimento

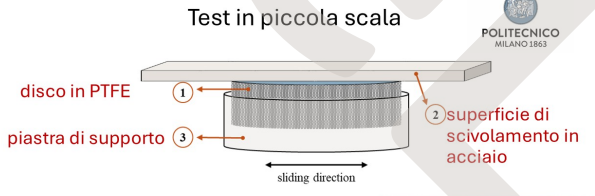
In condizioni operative, il danneggiamento della scossalina e la presenza di umidità possono favorire la formazione di ghiaccio sulle superfici degli isolatori a temperature inferiori a 0°C







Campagna sperimentale condotta presso i Laboratori del Politecnico di Milano e dell'Università di Eskișehir



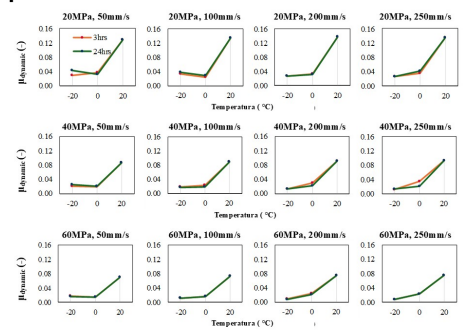
Geometria in accordo a EN15129

- disco Ø 75 x 7mm
- superficie in acciaio inossidabile. $Rz < 1 \mu m$





effetto lubrificante del ghiaccio, con significativa riduzione del coefficiente di attrito alle basse temperature



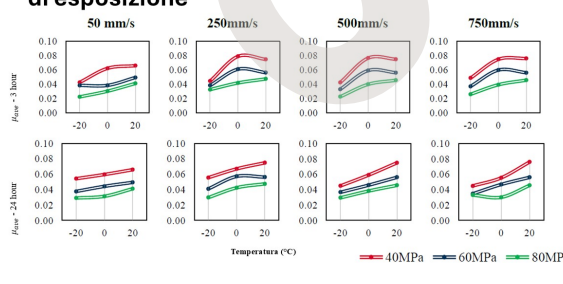
Test in grande scala





Dittis vie	Bittis Viaduct, Turoma	
pressione, p (MPa)	40, 60, 80	
velocità, v (mm/s)	50, 100, 200, 250	
Temperatura, T (°C)	-20, 0, 20	
durata esposizione, t (h)	3, 12, 24	

- ➤ dopo esposizione a -20 °C si osserva la formazione di uno strato di ghiaccio che causa una riduzione significativa del coefficiente di attrito
- > a 0 °C la formazione di ghiaccio e la riduzione del coefficiente di attrito sono influenzati dalla durata di esposizione



Conclusioni

- > L'evidenza sperimentale contraddice le indicazioni dell'EC8 che ignora l'effetto della contaminazione con ghiaccio
- In caso di possibile formazione di ghiaccio sulle superfici degli isolatori deve essere condotta una analisi Lower Bound
- E necessario tenere conto sia della minima temperatura frequente di esposizione che della durata di esposizione

Design Temperature	$\lambda_{\max, f2}$		
T _{min,b} (° C)	Unlubricated	Lubricated	Bimetallic
	PTFE	PTFE	Interfaces
20	1,0	1,0	To be established by test
0	1,1	1,3	
-10	1,2	1,5	
-30	1,5	3,0	

(EN 1998-2:2005 Eurocode 8 - Design of structures for earthquake resistance - Part 2: Bridges